

FOTOGRAFIAS DA OBRA DE CONSTRUÇÃO DAS CÉLULAS DE TESTE

Seguidamente apresentam-se fotografias que ilustram a progressão da construção das Células de Teste, desde a escolha do local até à configuração actual, assim como dos vários sensores utilizados para a instrumentação das Células de Teste. Inicialmente as Células estariam previstas como edifícios isolados, mas por factores de simplificação da construção foram transformados numa construção única que engloba as três células.



Figura A9.1. Marcação com estacas da Implantação da obra



Figura A9.2. Módulos pré-fabricados das lajes alveolares na CET Proposta



Figura A9.3. Construção da obra - fase de pedreiro



Figura A9.4. Construção da obra - fase de trolha na CET Convencional



Figura A9.5. Construção das paredes em taipa na CET Proposta (posteriormente demolidas e substituídas por adobe)



Figura A9.6. Fase inicial de execução de carpintaria de fôscó



Figura A9.7. Fase final de execução de carpintaria de tosco



Figura A9.8. Construção da parede em alvenaria de adobe

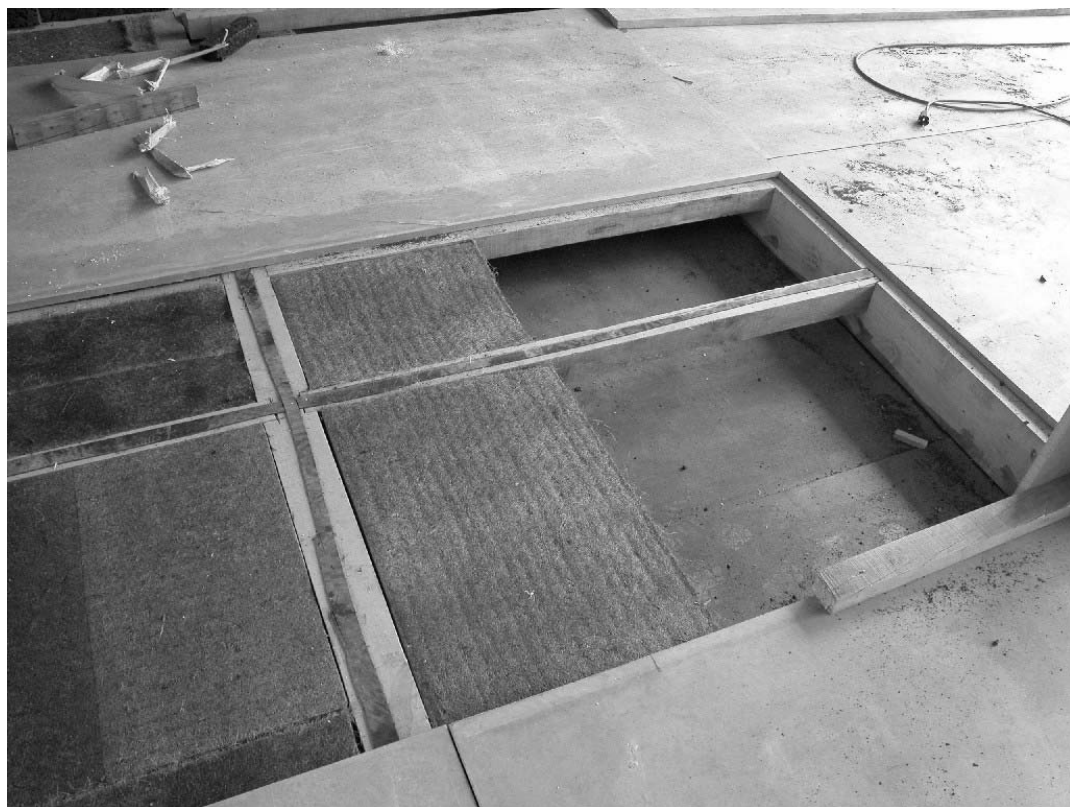


Figura A9.9. Colocação do isolamento no pavimento (fibra de coco sobre aglomerado negro de cortiça)



Figura A9.10. Colocação do isolamento na Célula tipo Passys (em Poliestireno extrudido)



Figura A9.11. Fachada sul das Células de teste antes da colocação dos caixilhos



Figura A9.12. Fachada sul das Células de teste após colocação dos caixilhos exteriores.
Realização de ensaios com sistemas de sombreamento



Figura A9.13. Fachada sul das Células de teste durante a colocação dos vidros nos caixilhos do envidraçado da varanda



Figura A9.14. Fachada sul das Células de teste na versão final, com caixilhos do envidraçado da varanda e sombreadores



Figura A9.15. Fachada sul das Células de teste com envidraçado da varanda - vista lateral Poente



Figura A9.16. Interior da CET Proposta com divisória aberta



Figura A9.17. Interior da CET Proposta com sensor de Fluxo de Calor instalado na Parede acumuladora de adobe

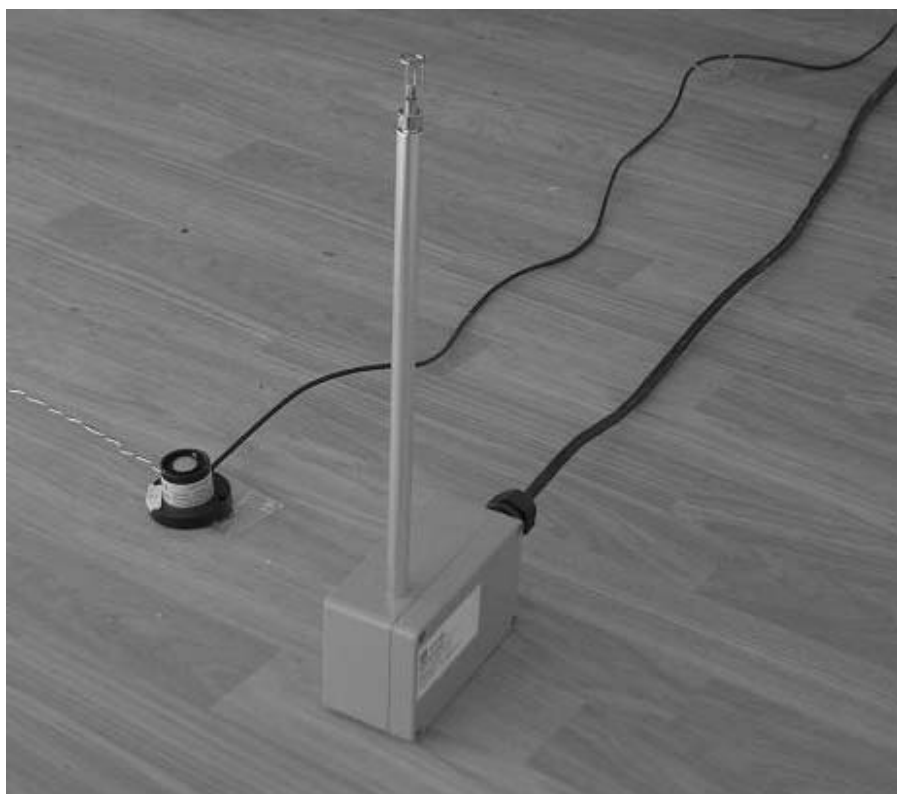


Figura A9.18. Anemômetro de fio quente e luxímetro colocados na CET proposta



Figura A9.19. Vista da fachada sul da Célula de teste Passys pelo interior

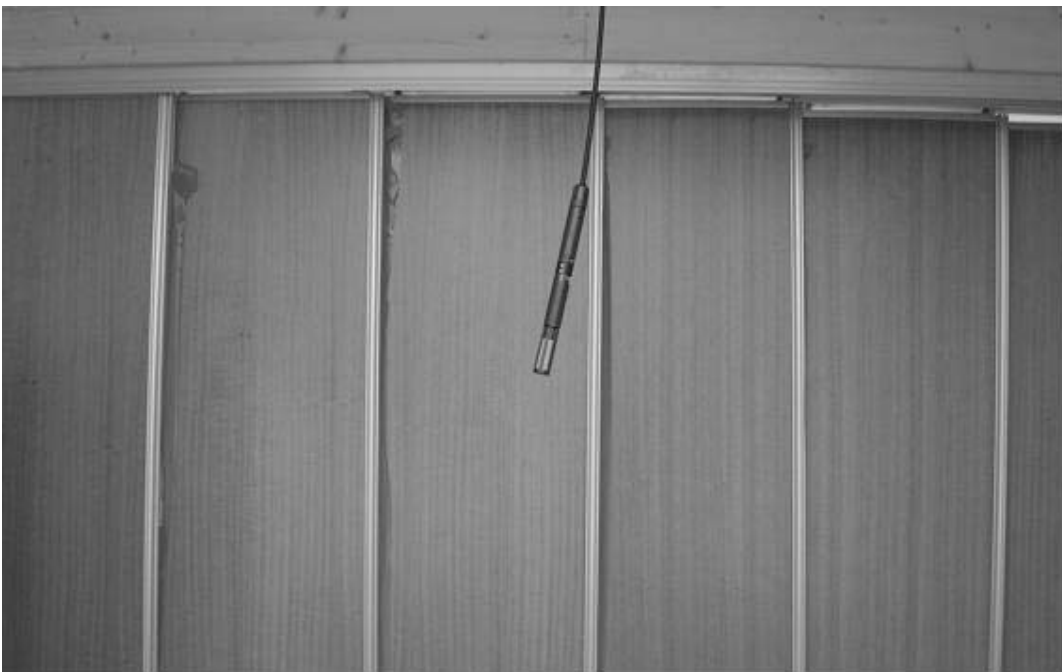


Figura A9.20. Sensor de temperatura e humidade interior e pormenor da divisória de compartimentação fechada na CET proposta